



Article

Photocatalyse de rose très efficace basée sur la lumière visible Production de colorant Bengal et d'hydrogène à l'aide d'Ag@Cu/TiO2 Nanocomposites ternaires

Satish Yadav ¹, Asim Jilani ², Sarika Sachan et ¹, Pramod Kumar 1,*, Sajid Ali Ansari ³, Mohammed Afzal ⁴ Mohammad Omaish Ansari 2,*

- Laboratoire des matériaux fonctionnels, Département de chimie Prof. Rajendra Singh (Rajju Bhaiya), Institut des sciences physiques pour l'étude et la recherche, Université Veer Bahadur Singh Purvanchal, Jaunpur 222003, Uttar Pradesh, Inde ; sarikasachan27aug@gmail.com (SS)
- Centre de nanotechnologie, Université King Abdulaziz, Jeddah 21589, Arabie Saoudite; asim.jilane@gmail.com Département de
- 3 physique, Collège des sciences, Université King Faisal, PO Box 400, Al-Ahsa 31982, Arabie Saoudite; sansari@kfu.edu.sa
- Département des sciences pharmaceutiques, programme de pharmacie, Batterjee Medical College, PO Box 6231, Jeddah 21442, Arabie Saoudite ; mohmmad.afzal@bmc.edu.sa
- * Correspondance: pkchemistry.2009@gmail.com (PK); moansari@kau.edu.sa (MOA)

Résumé : Dans ce travail, un nanocomposite ternaire Ag@Cu/TiO2 a été synthétisé par une méthodologie chimique simple et ensuite étudié pour la dégradation photocatalytique du colorant rose bengale (RB) sous lumière visible ainsi que pour sa production d'hydrogène. L'analyse de la forme, de la taille et de la topographie par microscopie électronique à balayage et à transmission a révélé que tous les constituants sont bien intercalés et se situent dans la gamme nano. L'analyse aux rayons X à dispersion d'énergie de Aq@Cu/TiO2 a montré la présence de Ti, O, Cu et Ag et l'absence de toute autre impureté, tandis que l' analyse cartographique a montré leur distribution uniforme. La spectroscopie de photons à rayons X a également montré une interaction réussie entre les composants. De plus, les changements dans l'état chimique du Ti2p ont été examinés. La bande interdite de Ag@Cu/TiO2 en utilisant les relations de tracé de Tauc s'est avérée la plus faible à 2,86 eV par rapport au TiO2 pur (3,28 eV), à l'Ag/TiO2 binaire (3,13 eV) et au Cu/TiO2 (3,00 eV). L' Ag@Cu/TiO2 a affiché l'intensité de photoluminescence la plus faible, suggérant l' efficacité de dégradation la plus élevée et le taux de recombinaison le plus bas. L'application de Ag@Cu/ TiO2 vers la dégradation photocatalytique du colorant RB a présenté un taux de dégradation d'environ 81,07 %, ce qui dépasse de 3,31 fois l'efficacité du TiO2 pur. En dehors de cela, la production d'hydrogène de Ag@Cu/TiO2 ⁻¹, suggérant que le cuivre et l'argent ont contribué de manière synergique, entraînant ainsi s'est avérée être de 17,1 µmol h−1 g, soit la production accrue d'hydrogène de TiO2 pur .

 $\label{lem:motion} \mbox{Mots-cl\'es}: \mbox{colorant rose bengale} \; ; \; \mbox{r\'egion visible} \; ; \; \mbox{d\'egradation photocatalytique} \; ; \; \mbox{Nanocomposites ternaires} \; \\ \mbox{Ag@Cu/TiO2} \; \\$



check for

Citation: Yadav, S.; Jilani, A.; Sachan, S.; Kumar, P.; Ansari, SA; Afzal, M.; Ansari, MO Photocatalyse très efficace basée sur la lumière visible de la production de colorant rose Bengale et d'hydrogène à l'aide de nanocomposites ternaires Ag@Cu/TiO2. Chimie 2024, 6, 489-505. https://doi.org/10.3390/chemistry6030028

Rédacteurs académiques : Gianguido Ramis, Vincenzo Vaiano et Olga Sacco

Reçu : 15 avril 2024 Révisé : 29 mai 2024 Accepté : 30 mai 2024 Publié : 20 juin 2024



Copyright: © 2024 par les auteurs.
Licencié MDPI, Bâle, Suisse.
Cet article est un article en libre accès distribué selon les termes et conditions des Creative Commons
Licence d'attribution (CC BY) (https://creativecommons.org/licenses/by/4.0/).

1. Introduction

L'eau est un élément essentiel à la survie de la vie sur Terre et est présente sur Terre sous forme de rivières, de mers, de lacs et d'eaux souterraines. La croissance rapide de la population, le développement, la révolution industrielle et le changement climatique ont contaminé tous les aspects des ressources en eau [1]. Les principaux contaminants présents dans l'eau sont les tanneries, le cuir, le caoutchouc, les teintures, les cosmétiques, les produits pharmaceutiques alimentaires, la peinture d'imprimerie, etc. [2,3]. Parmi eux, les industries du textile, des produits pharmaceutiques, des peintures d'imprimerie et des tissus rejettent jusqu'à 17 à 20 % de colorants colorés dans les plans d'eau, ce qui a créé une pollution de l'eau [4]. Les colorants colorés synthétiques sont non biodégradables et hautement photostables [5]. Le colorant inhibe la lumière du soleil, diminue la solubilité de l'oxygène moléculaire dans l'eau, ce qui affecte la vie aquatique des organismes ainsi que l'écosystème aquatique, et a des effets toxiques et cancérigènes à long terme pour tous les écosystèmes.

Parmi les colorants organiques les plus utilisés, on trouve le colorant rose Bengale (RB), utilisé dans les industries photochimiques du textile, de l'imprimerie et des cosmétiques. Il doit être retiré de l'eau car il provoque des démangeaisons, des rougeurs, une inflammation, une irritation et des cloques lorsqu'il entre en contact direct avec la peau. Différentes méthodes, notamment la filtration sur membrane, la coagulation, la floculation et l'adsorption, ont récemment été utilisées pour dégrader la pollution par les colorants [6-8]. Cependant, toutes ces méthodes présentent des limites, notamment en termes d'effluents, de développement de boues et de difficulté à réactiver l'adsorbant. La photocatalyse est l'une des méthodes les plus courantes et les plus rentables pour décomposer les colorants RB de l'eau à l'aide de nanocatalyseurs efficaces [9]. La photocatalyse par lumière visible est un processus qui utilise l'énergie de la lumière visible pour déclencher une réaction chimique. Cela implique l'utilisation d'un photocatalyseur, capable d'absorber la lumière dans le spectre visible et de favoriser la conversion des réactifs en produit souhaité [10]. Récemment, cette technique a suscité beaucoup d'intérêt en raison de son respect de l'environnement, de sa polyvalence, de sa sélectivité, de son efficacité, de sa rentabilité et de sa durabilité, qui la rendent hautement applicable pour un grand nombre d'utilisations.

Les nanoparticules présentent des propriétés différentes de celles des matériaux en vrac, des espèces moléculaires ou des atomes dont elles sont dérivées, en raison de leur rapport surface/volume élevé [11]. Les différents types de nanoparticules de métaux de transition [12], d'oxydes de métaux de transition et de chalcogénures sont utilisés pour des applications variées, telles que le stockage d'énergie, le stockage de données magnétiques, les capteurs et les ferrofluides, ainsi que la dégradation photocatalytique des colorants organiques. Les nanoparticules, en particulier les nanoparticules d'oxydes métalliques, sont largement utilisées dans le domaine de la photocatalyse en lumière visible. Ces nanoparticules ont des propriétés uniques qui les rendent efficaces en photocatalyse pour diverses réactions. Par exemple, les nanoparticules d'oxydes métalliques telles que l'oxyde de titane (TiO2) [13], l'oxyde de zinc (ZnO) [14] et l'oxyde de tungstène (WO3) [15] ont été largement étudiées pour leurs capacités photocatalytiques. Cependant, l'utilisation de nanoparticules pour la photocatalyse présente certains inconvénients, tels que leur bande interdite élevée et l'exigence selon laquelle la bande interdite du photocatalyseur doit correspondre à l'énergie des photons de la lumière visible afin d'obtenir une photocatalyse efficace de la lumière visible. Malheureusement, de nombreuses nanoparticules d'oxydes métalliques ont une bande interdite qui correspond à la lumière ultraviolette (UV-Vis), limitant ainsi leur activité photocatalytique à la lumière visible. Au cours du processus de photocatalyse, les nanoparticules peuvent s'agglomérer, ce qui entraîne une diminution de la surface spécifique ainsi qu'une limitation des sites réactifs disponibles. Cette agrégation peut se produire en raison de divers facteurs, tels gu'une concentration élevée, des changements de pH ou la présence d'impuretés [16]. Pour surmonter cette limitation, les chercheurs ont développé diverses stratégies, telles que le dopage, la modification de surface et l'altération de la bande interdite, pour activer les nanoparticules d'oxyde métallique sous un éclairage par la lumière visible. Ces modifications permettent aux nanoparticules d'absorber une gamme plus large de lumière, y compris la lumière visible, améliorant ainsi leur efficacité photocatalytique [17]. De nombreux oxydes de métaux de transition, tels que ZnO, TiO2, NiO et CuO, et des chalcogénures métalliques, tels que ZnS et MoS2, ont été utilisés pour éliminer les colorants colorés, les polluants industriels et les eaux usées pharmaceutiques [18-20]. L'oxyde de métal de transition le plus étudié pour la dégradation photocatalytique de la contamination ainsi que pour le colorant est le TiO2, qui possède un fort pouvoir oxydant, est non toxique et extrêmement stable vis-à-vis de la corrosion photo et chimique. La photocatalyse est une méthode prometteuse car peu coûteuse et respectueuse de l'environnement. Le TiO2 a une bande interdite Plusieurs études montrent la diminution de la bande interdite du TiO2 par le dopage de nouveaux métaux de transition tels que Cu, Ag, Au, Pt, Ni et Co, ainsi que de la polyaniline (PANI), du polypyrrole (PPY) et de l'oxyde de graphène réduit, qui s'étend le décalage spectral dans la région visible et augmente l'activité photocatalytique du TiO2 [21]. Il a été démontré que le bleu de méthyle (MB) et l'orange de méthyle (MO) présentent une dégradation de 96,3 % et 97 % sous irradiation lumineuse UV-Vis en utilisant du TiO2 synthétisé par la méthode solvothermique modifiée. Lin et coll. [22] ont démontré la dégradation photocatalytique (UV-VIS) du 2-chlorophénol toxique en utilisant un catalyseur TiO2 . De même, Zhang et al. [23] ont étudié l'effet photoélectrique et les propriétés photocatalytiques du TiO2 en le dopant avec des nanoparticules d'Ag pour améliorer la dégradation photoélectrique et photocatalytique. Mingxuan Sun et coll. [24] ont montré une nette amélioration du visible

activité photocatalytique de la région, stabilité photochimique et recombinaison à faible charge à partir de TiO2 dopé au CdS et CdS/MoS2.

Sur la base de la discussion ci-dessus, nous avons synthétisé des composites ternaires Ag@Cu/TiO2 par la méthode solvothermique in situ pour la dégradation photocatalytique du colorant RB dans la région visible de la lumière. Le composite ternaire synthétisé Ag@Cu/TiO2 a été caractérisé pour ses caractéristiques structurelles et morphologiques. Enfin, la dégradation photocatalytique du colorant RB et le phénomène de dégagement d'hydrogène dans la région visible ont été étudiés en profondeur.

2. Section expérimentale 2.1.

Matériels et méthodes

Titane (IV)-isopropoxyde (TIP) 97% de Qualigens, sulfate de cuivre (II) pentahydrate 99,5% (CuSO4.5H2O) de Sisco Research Laboratories, nitrate d'argent 99,8% (AgNO3) de Sigma Aldrich, acide ascorbique 99,7 % des laboratoires de recherche Sisco, borohydrure de sodium 98 % (NaBH4) des laboratoires de recherche Sisco, acide chlorhydrique 35 % (HCI) des laboratoires de recherche Sisco (Mumbai, Inde) et colorant rose Bengale (RB) de Sigma Aldrich (St. Louis , MO, USA) ont été utilisés dans cette étude. De l'eau désionisée a été utilisée comme milieu réactionnel pour la procédure de synthèse.

La microscopie électronique à balayage par émission de champ (JEOL, JSM-7600F, FESEM, Tokyo, Japon) a été utilisée pour étudier la morphologie de surface et les compositions élémentaires. La microscopie électronique à transmission (JEOL, JSM, ARM-200F, HRTEM, Tokyo, Japon) a également été utilisée. La cartographie élémentaire a été enregistrée à l'aide d'un spectroscope à rayons X à dispersion d'énergie (EDS) d'Oxford Instruments, Oxfordshire, Royaume-Uni, équipé de FESEM. Pour la détection élémentaire, la spectroscopie photoélectronique à rayons X (XPS) (ESCALAB 250 de Thermo Fisher Scientific, Warrington, Royaume-Uni) a été utilisée sur une source de rayons X Al Kα monochromatisée λ 1/4 1486,6 eV.

2.2. Synthèse de Ag@Cu/TiO2

La synthèse de Ag@Cu/TiO2 a été réalisée par la méthodologie solvothermique. Dans cette méthode, 6 ml d'isopropanol ont été dispersés dans 86 ml d'eau et 6 ml de HCl y ont été ajoutés goutte à goutte. Au mélange d'isopropanol et d'acide, 5 ml de TIP ont été ajoutés lentement et le mélange entier a été mis sous agitation à 80 °C pendant 1 h, ce qui a donné une solution colloïdale blanche (appelée solution A). Cette solution colloïdale blanche a été soumise à centrifugation puis le TiO2 collecté a été lavé avec un excès de solvants (mélange d'eau et d'éthanol) et enfin séché dans une étuve à air à 80 °C pendant 6 h pour obtenir du TiO2 pur. Le Cu/TiO2 a été préparé en dissolvant 0,4 g de CuSO4.5H2O dans 100 ml (pour une charge d'environ 5 % de Cu sur TiO2) d'eau et en utilisant 0,05 M de NaOH pour maintenir le pH à 12. À la solution ci-dessus de CuSO4.5H2O , 30 ml d'acide ascorbique 0,05 M ont été mélangés goutte à goutte et le résultat a été chauffé à 60 °C sous agitation continue pendant 1 h (Figure 1).

La couleur jaune du mélange a lentement viré au brun, ce qui indique le Cu formé (la dispersion de Cu a été appelée solution B). Finalement, les deux solutions (A et B) ont été mélangées sous agitation continue et le Cu/TiO2 résultant a été soumis à une centrifugation, lavé avec un excès de solvants (eau et éthanol) et enfin séché à 80 °C pendant 6 h pour obtenir du Cu. /TiO2. L'Ag@Cu/TiO2 a été préparé en préparant d'abord la solution colloïdale de nanoparticules d'Ag en dissolvant 0,12 g d'AgNO3 dans 100 ml de H2O , puis 30 ml de NaBH4 0,06 M y ont été ajoutés goutte à goutte. Le composite binaire Cu/TiO2 a été ajouté à la solution colloïdale d'Ag et le mélange entier a été agité en continu pendant 2 h. Ainsi, le composite Ag@Cu/TiO2 préparé a été lavé avec un excès de solvants (eau et éthanol) et finalement séché à 80 °C pendant 6 h pour obtenir Ag@Cu/TiO2 pur.

Chimie 2024, 6, POUR EXAMEN PAR LES PAIRS

Chimie 2024, 6 492

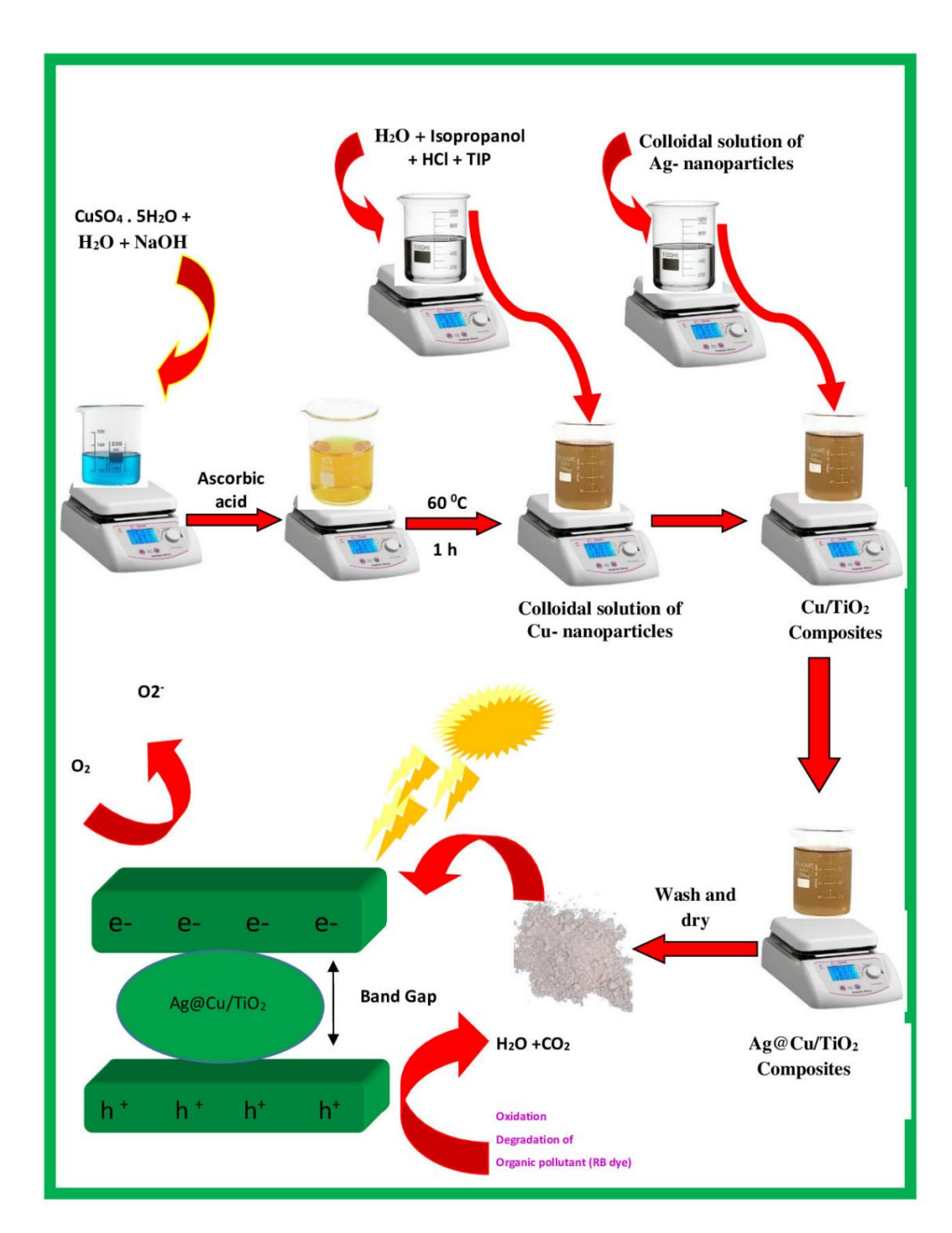


Figure 1. Illustration schématique de la synthèse de Ag@Cu/TiO2 . Figure 1. Illustration schématique de la synthèse de Ag@Cu/TiO2.

- 2.3. Dégradation photocatalytique du RB et production d'hydrogène
- 2.3. Dégravation photocatal virule dues caralyseins d'yvatingères, à savoir le TiO2 pur, Ag/TiO2, Cu/TiO2 actalyte photocatal virule dues caralyseins d'yvatingères, à savoir le TiO2 pur, Ag/TiO2, Cu/TiO2 actalyte protocatalytique dues en veus annue de terminant actalités actions et le production de 250 mL contenant 30 drogantials protocatal acto phy alété apprés à proparé attenté de n'élamigé le à card adaption de 250 mL contenant librium (Le avoi la rage Rection agricon de la phy alété apprés à proparé attenté de n'élamigé le à card adaption pricon de 250 mL contenant librium (Le avoi la rage Rection agricon de la physical de l

L'efficacité de dégradation du TiO2 pur, Ag/TiO2, Cu/TiO2 et Ag@Cu/TiO2 a été calculée à l'aide de l'équation suivante [25].

Dégradation (%) =
$$\frac{\text{Co - Ct}}{\text{Co}}$$
 100 (1)

Dans l'équation fournie, Co représente la concentration initiale de colorant RB, tandis que Ct signifie la concentration de RB après un intervalle de temps spécifique (0, 20, 40 et 60 min). Ensuite, la constante de vitesse apparente (k) a été déterminée à l'aide de l'équation suivante.

$$\frac{CT}{Co} = -kt \tag{2}$$

Pour évaluer la production d'hydrogène, le méthanol a été utilisé comme piégeur. Dans les processus de production d'hydrogène, les piégeurs jouent un rôle essentiel dans l'amélioration de l'efficacité. Ils relèvent des défis clés en capturant les paires électron-trou et en les empêchant de gaspiller l'énergie générée [1]. De plus, les piégeurs ciblent et éliminent sélectivement les molécules impliquées dans des réactions secondaires indésirables, protégeant ainsi les intermédiaires cruciaux nécessaires au dégagement d'hydrogène. De plus, ils peuvent faciliter le mouvement des charges photogénérées au sein du système, garantissant ainsi leur utilisation efficace pour la production d'hydrogène. Essentiellement, les récupérateurs agissent comme des gardiens, optimisant divers aspects du processus pour maximiser la production d'hydrogène [2].

3. Résultat et discussion

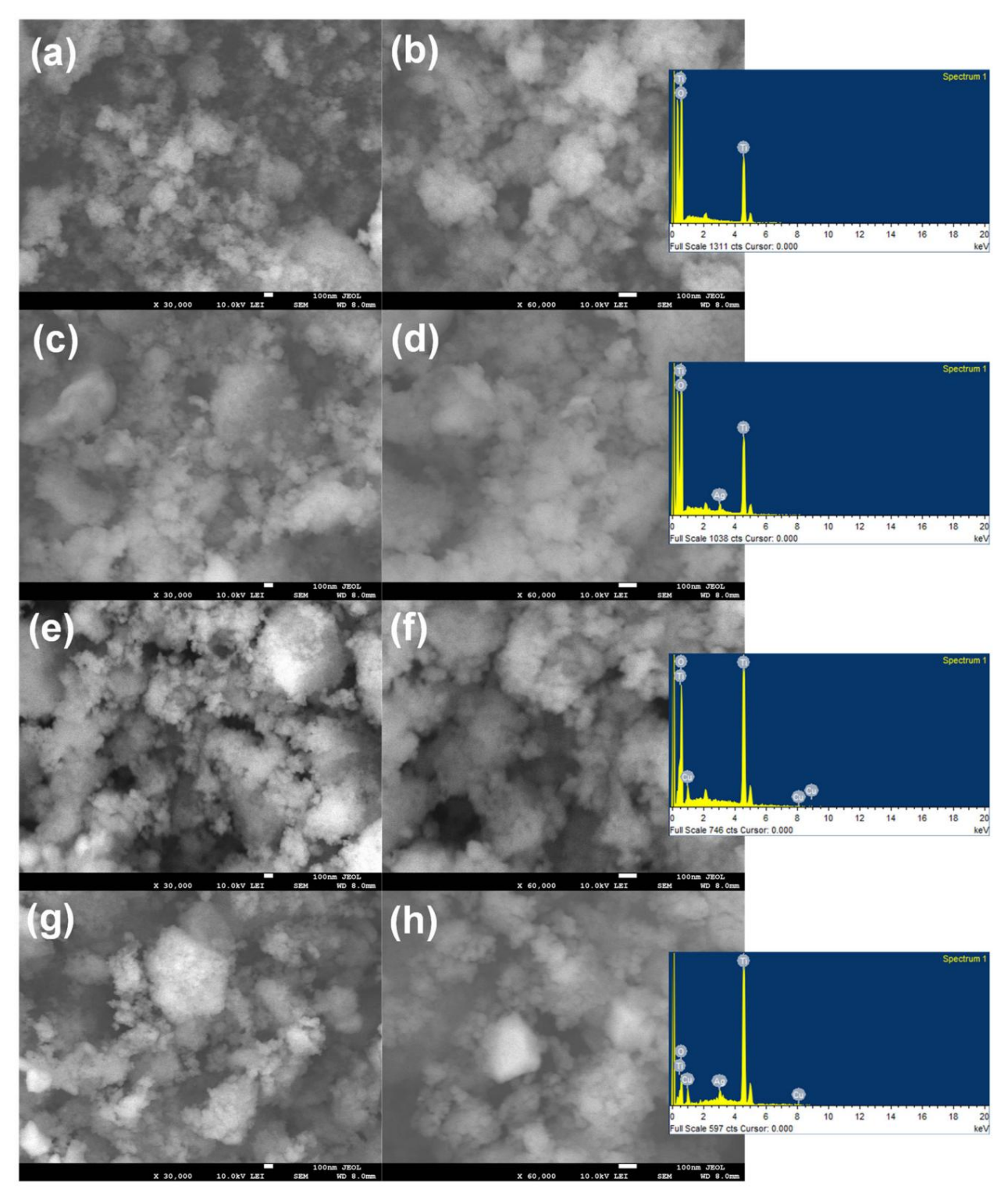
3.1. Analyse morphologique de surface

L'analyse morphologique du TiO2, Ag/TiO2, Cu/TiO2 et Ag@Cu/TiO2 a été réalisée par SEM (Figure 2) et TEM (Figure 3). Le SEM du TiO2 pur montre des amas de particules rondes de petite taille regroupées en petits et grands agrégats. Les Ag/TiO2, Cu/TiO2 et Ag@Cu/TiO2 présentent une morphologie similaire, avec tous les constituants de la gamme nano. On peut prédire à partir des micrographies que tous les constituants de Ag@Cu/TiO2 sont bien intercalés les uns avec les autres. Les images TEM de Ag@Cu/TiO2 montrent que tous les TiO2, Cu et Ag sont bien intercalés les uns avec les autres, la taille de certains TiO2 étant légèrement supérieure à 100 nm.

L'analyse élémentaire des TiO2, Ag/TiO2, Cu/TiO2 et Ag@Cu/TiO2 par EDS montre la présence de Ti et O dans le TiO2, Ti, O et Ag dans les Ag/TiO2, Cu, Ti et O dans le Cu/TiO2 et Cu, Ti, O et Ag dans Ag@Cu/TiO2, illustrant ainsi la formation réussie du composite ainsi que l'absence de toute impureté. La distribution uniforme des éléments respectifs, telle que représentée par l'analyse cartographique (Figure 4), suggère l'efficacité de la méthodologie de synthèse.

3.2. Analyse de la composition et de la composition

chimique de la surface La composition élémentaire et les groupes fonctionnels des catalyseurs préparés (TiO2 pur, Ag/TiO2, Cu/TiO2 et Ag@Cu/TiO2) ont été étudiés par spectroscopie photoélectronique à rayons X (XPS). Les spectres d'enquête (Figure 5a) ont fourni des informations sur les éléments de surface, tandis que la composition détectée est illustrée sur la Figure 5b. Le TiO2 pur a démontré une composition comprenant 58,1 % d'oxygène et 41,9 % de titane. Dans le cas de l'Ag/TiO2, les éléments étaient présents dans des pourcentages de 51,7 % d'oxygène, 45,3 % de titane et 3,0 % d'argent. De même, l'incorporation de cuivre dans le Cu/TiO2 a été confirmée, avec une composition de 50,7 % d'oxygène, 43,0 % de titane et 6,3 % de cuivre. Le nanocomposite ternaire, appelé Ag@Cu/TiO2, présentait une composition élémentaire de 35,4 % d'oxygène, 39,2 % de titane, 16,7 % d'argent et 8,7 % de cuivre.



Fiquigua Minnergraphian MFREBUTIONO (A), b), 9ATIONO 5, (B), of CTIONO 5, (B, 9) Season (B), h), ainsing upulau an alyang se elementaire respective.

L'analyse de l'état chimique du Ti2p a été explorée plus en détail pour élucider les interactions chimiques dans le TiO2, Ag/TiO2, Cu/TiO2 et Ag@Cu/TiO2 (Figure 6a – d). Dans l' analyse de l'état chimique du TiO2 pur (Figure 6a), des pics distincts à 457,99 eV et 463,67 eV ont été observés, correspondant à Ti2p3/2 et Ti2p1/2, avec des contributions de 73,32 % et 26,68 %, respectivement. L'introduction d'Ag et de Cu dans le TiO2 a entraîné des altérations des apports de Ti2p3/2 et Ti2p1/2. Plus précisément, l'échantillon Ag/TiO2 présentait

cotisations totales de 72,05% (Ti2p3/2) et 27,95% (Ti2p1/2). De même, le Cu/TiO2 a montré des contributions totales de 78,38 % (Ti2p3/2) et 21,62 % (Ti2p1/2). Le composite ternaire final, Ag@Cu/ TiO2, a affiché des contributions totales de 72,31 % (Ti2p3/2) et 27,69 % (Ti2p1/2). En résumé, les changements observés dans les contributions en pourcentage atomique de Chemistry 2024, 6, FOR

PEER REVIEW Ti2p3/2 et Ti2p1/2 dans le TiO2 pur suite à l'ajout d'Ag et de Cu signifient l' interaction réussie entre les composants.

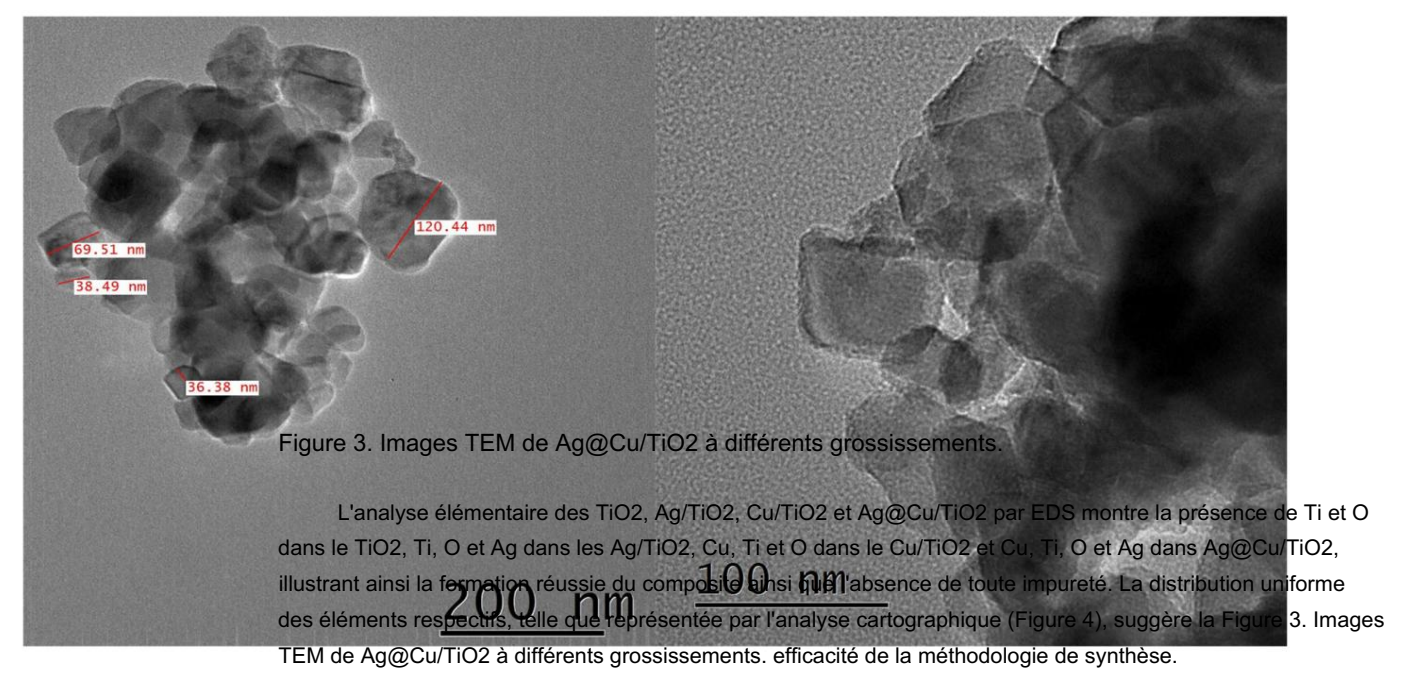
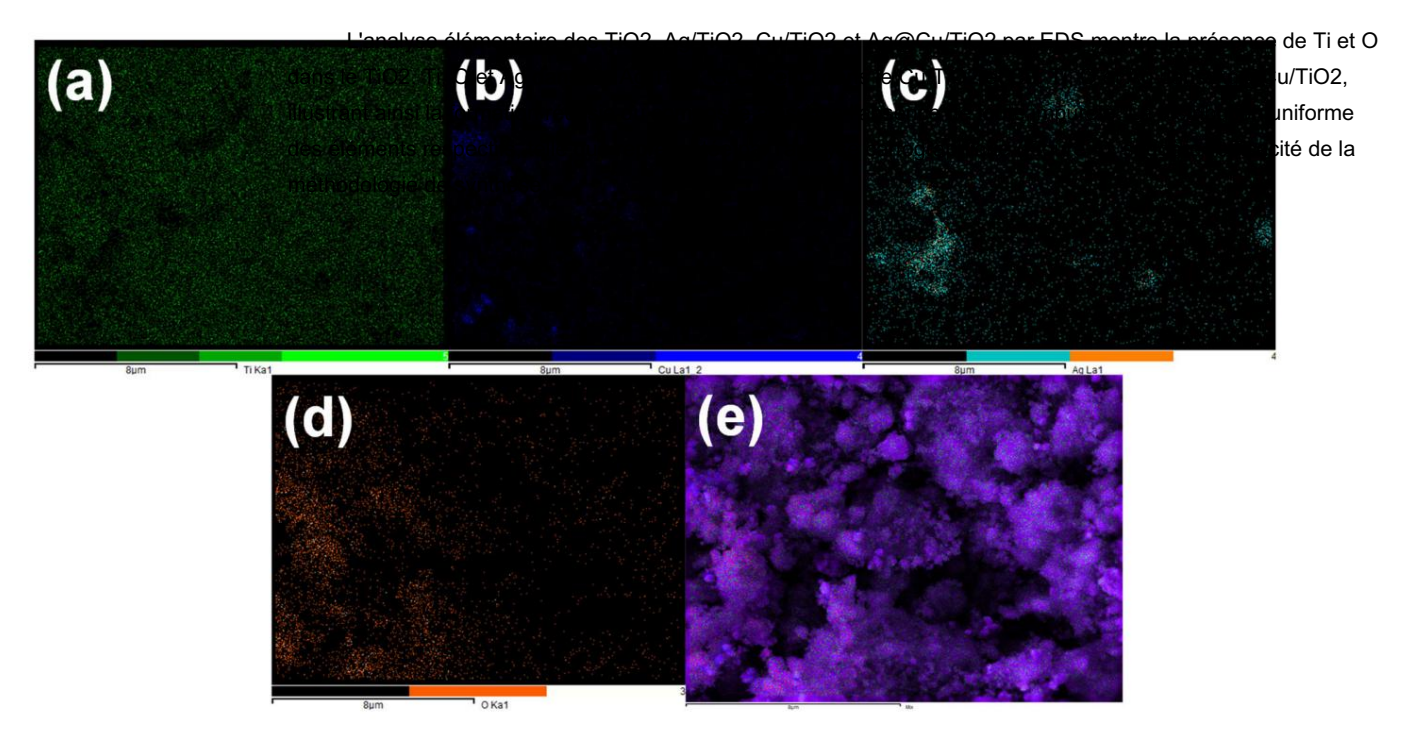


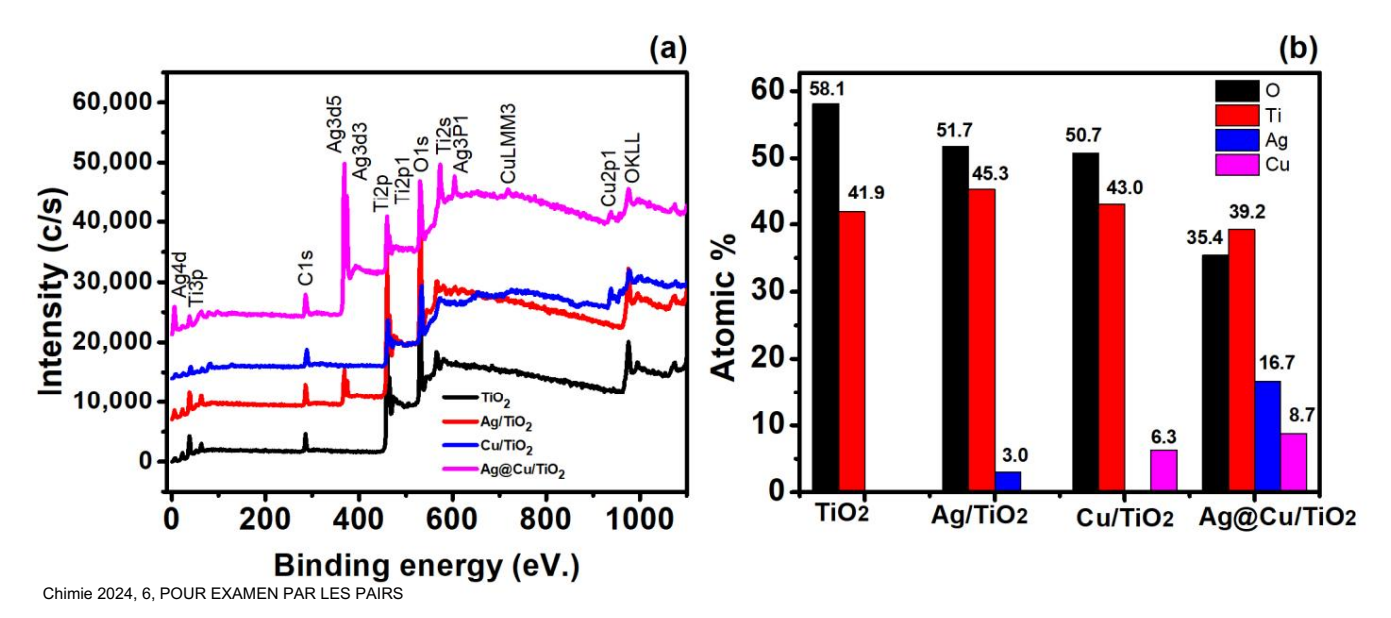
Figure 3. Images TEM de Ag@Cu/TiO2 à différents grossissements.



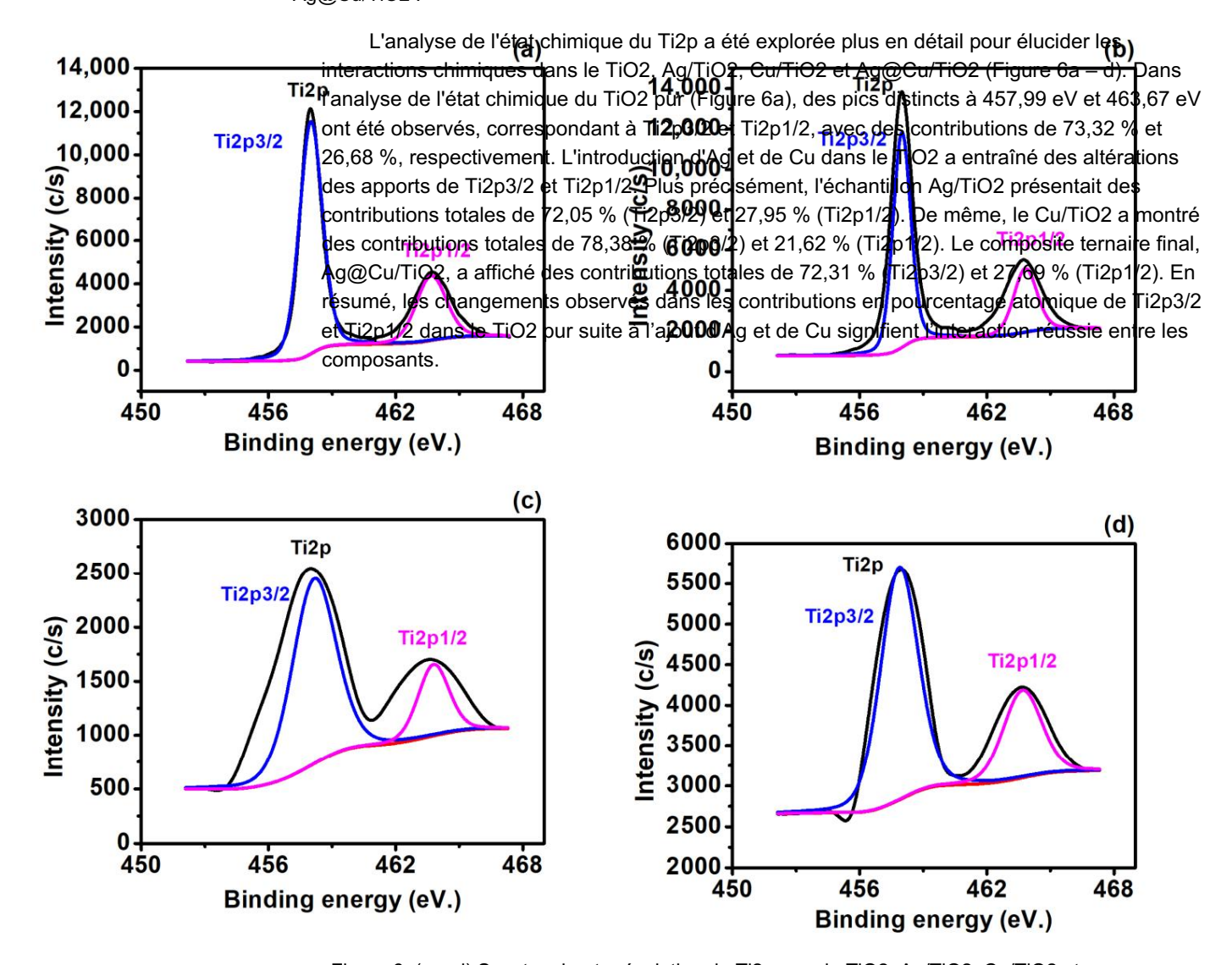
Fighter 4: Brighting retainting feether think the fighter of the second state of the s

3.2. Analyse de la composition et de la composition

chimique de la surface La composition élémentaire et les groupes fonctionnels des catalyseurs préparés (TiO2 pur, Ag/TiO2, Cu/TiO2 et Ag@Cu/TiO2) ont été étudiés par spectroscopie photoélectronique à rayons X (XPS). Les spectres d'enquête (Figure 5a) ont fourni des informations sur les éléments de surface, tandis que la composition détectée est illustrée sur la Figure 5b. Le TiO2 pur a démontre une Figure 4. Distribution de cartographie élémentaire des éléments fi (a), O (b), Ag (c), Cu (d) et r les éléments étaient présents dans les pourcentages de 51,7 % d'oxygène, 45,3 % de titane et 3,0 % d'argent. De même, l'incorporation de cuivre dans le Cu/TiO2 a été confirmée, avec une composition de 50,7 % d'oxygène, 43,0 % de titane et 6,3 % de cuivre. Le nanocomposite ternaire, appelé Ag@Cu/TiO2, présentait une composition élémentaire de 35,4 % d'oxygène, 39,2 % de titane, 16,7 % d'argent et 8,7 % de cuivre.



TiO2⁹, ቫርሀተቡን (୧) አካዋናያዊ ሲያያውሮሽት አይያ et (b) composition de TiO2, Ag/TiO2, Cu/TiO2 et Figure 5. (a) Spectres d'enquête XPS et (b) composition de Ag@Cu/TiO2 .



Figures real (a) Spectron teacher than the action of the hitele of the contraction of the

Les spectres O1s du TiO2 pur (Figure 7a) présentent deux pics principaux à environ 530 eV et 532,5 eV, attribués à l'interaction entre l'oxygène et le Ti à 530 eV et à la lacune en oxygène à 532,5 eV, respectivement [1]. Notamment, la présence d'Ag dans le TiO2 (Ag/TiO2), comme le montre la figure 7b, entraîne une augmentation des lacunes en oxygène de 12,54 % à 13,1

Les spectres O1s du TiO2 pur (Figure 7a) présentent deux pics principaux à environ 530 eV et 532,5 eV, attribués à l'interaction entre l'oxygène et le Ti à 530 eV et à la lacune en oxygène à 532,5 eV, respectivement [1]. Notamment, la présence d'Ag dans le TiO2 (Ag/TiO2), comme le montre la figure 7b, entraîne une augmentation des lacunes en oxygène de 12,54 % à 13,12 %. Cette tendance se poursuit avec l'ajout de Cu au TiO2 (Cu/TiO2) et au ternaire Ag@Cu/TiO2. La lacune maximale en oxygène, atteignant 56,45 %, est observée pour le Ag@Cu/TiO2. Ces lacunes servent de sites de capture actifs pour les molécules de colorants et les polluants, renforçant ainsi l'activité photocatalytique du matériau [2]. Ces résultats concordent avec nos résultats photocatalytiques, comme décrit plus loin dans la figure 9. De plus, un pic supplémentaire est évident à environ 534,6 eV pour l'Ag@Cu/TiO2, attribué à la chimie de surface 2024, 6, POUR L'EXAMEN PAR LES PAIRS de l'oxygène (Os), contribuant en outre à l'activité photocatalytique améliorée du ternaire Ag@Cu/TiO2 par rapport au TiO2 pur, Ag/TiO2 et Cu/TiO2.

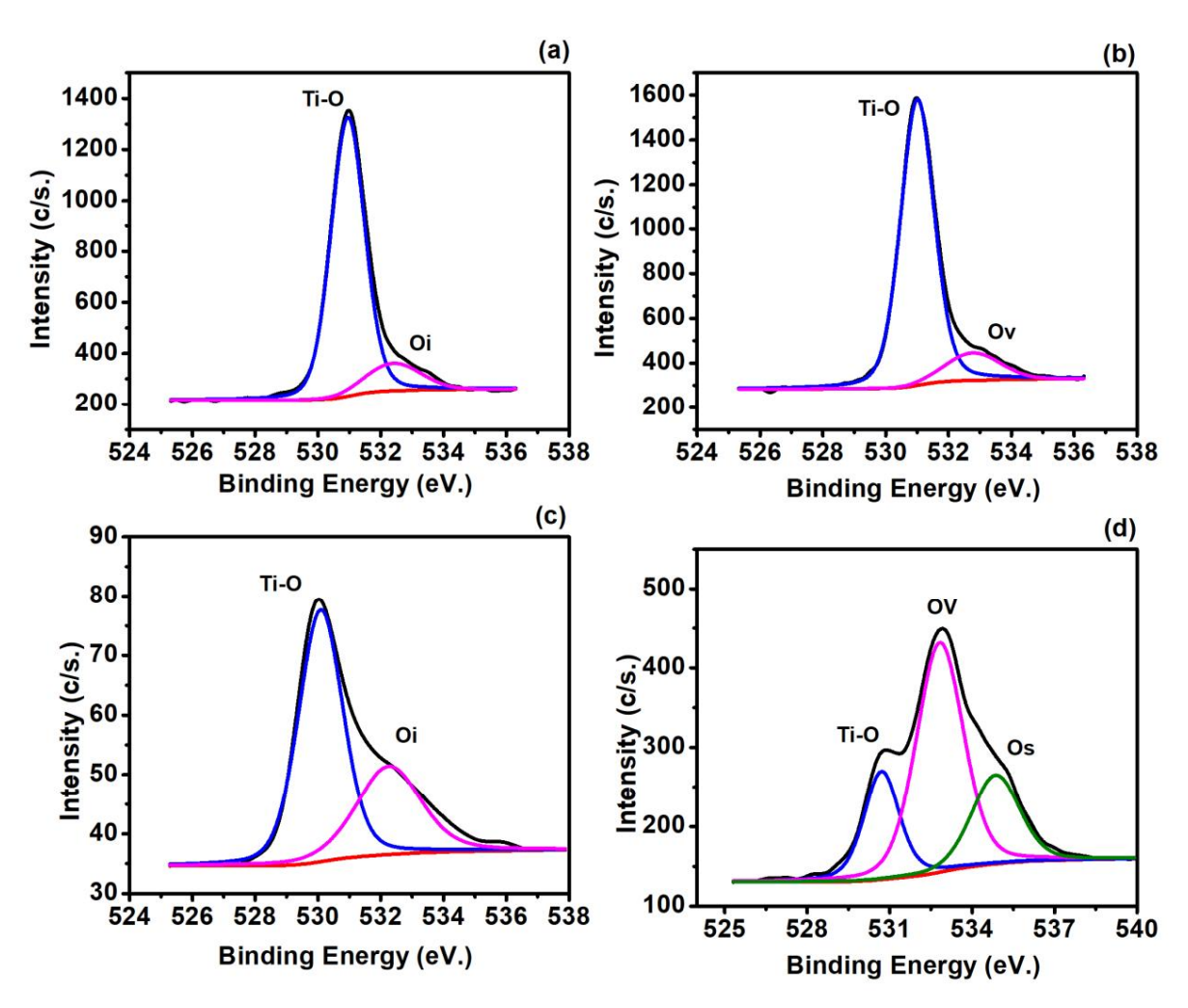


Figure in una Z (h) cois charte sérollation dution dutien dution dution dution dution dution dution dution dution dutien dution dution dutien dution dutien dutien

L'état-détatique du le roaire d'agent d'agent de légers changement avec des controllements de 30,30% 40,40,40% [1]. figure l'de perdant inverse des les pources des présententions de 30,30% 40,40% [1]. figure l'de perdant inverse de l'état de légers changements, les pourcentages passant à 59,03% et 40,97% (ces pics subjessent de légers changements, les pourcentages passant à 59,03% et 40,97% (ces pics subjessent de légers changements, les pourcentages passant à 59,03% et respectivement a 40,97%. Lanalyse çu 20,41,02 et Agent de l'ouver et Agent de legers changements, les pourcentages passant à 59,03% et respectivement a 40,97%. Lanalyse çu 20,41,02 et Agent de l'ouver et Agent de l'est présentée a la figure 9c.d. Les pics observés à 937 et sont attribués à finteraction du cu avec l'oxygene (cuox); tandis que ceux à 945,5 et sont attribués à finteraction du cu avec satellite aimes portre l'avet de ceux à 945,5 et sont attribués à finteraction du cu avec satellite aimes production de ceux à 945,5 et sont attribués à fort du shake-up du altération de la fight de le ceux à 945,5 et sont attribués à fort du shake-up du altération de la fight de le ceux à 945,5 et sont attribués à fort du shake-up du altération de la fight de le ceux à 945,5 et sont attribués à l'espectivement du l'entere du la literation de la fight de l'entere de la fight de l'entere l'amélique du ternaire Ag@Cu/TiO2. le ternaire Ag@Cu/TiO2.

Chimie 2024, 6 Chimie 2024, 6, POUR EXAMEN PAR LES PAIRS 498

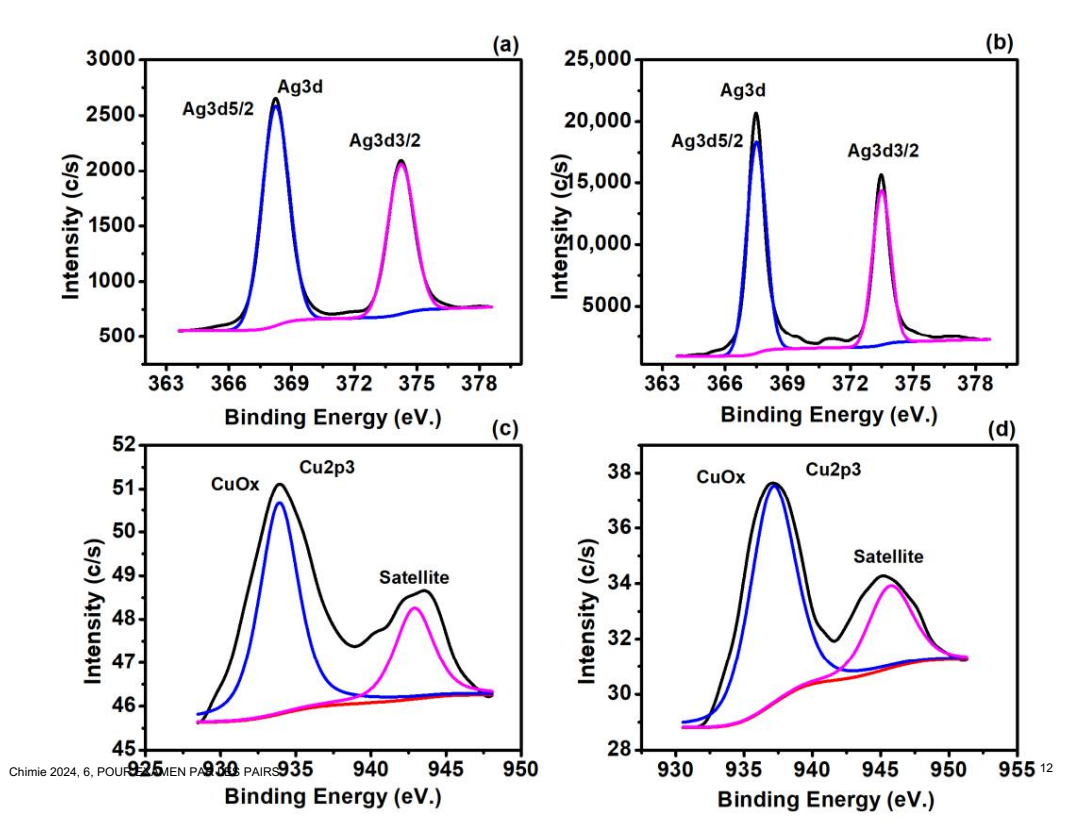


Figure 8. (a, b) Spectre FRANCE AND TRANSMENT OF STANDARD TRANSMEN

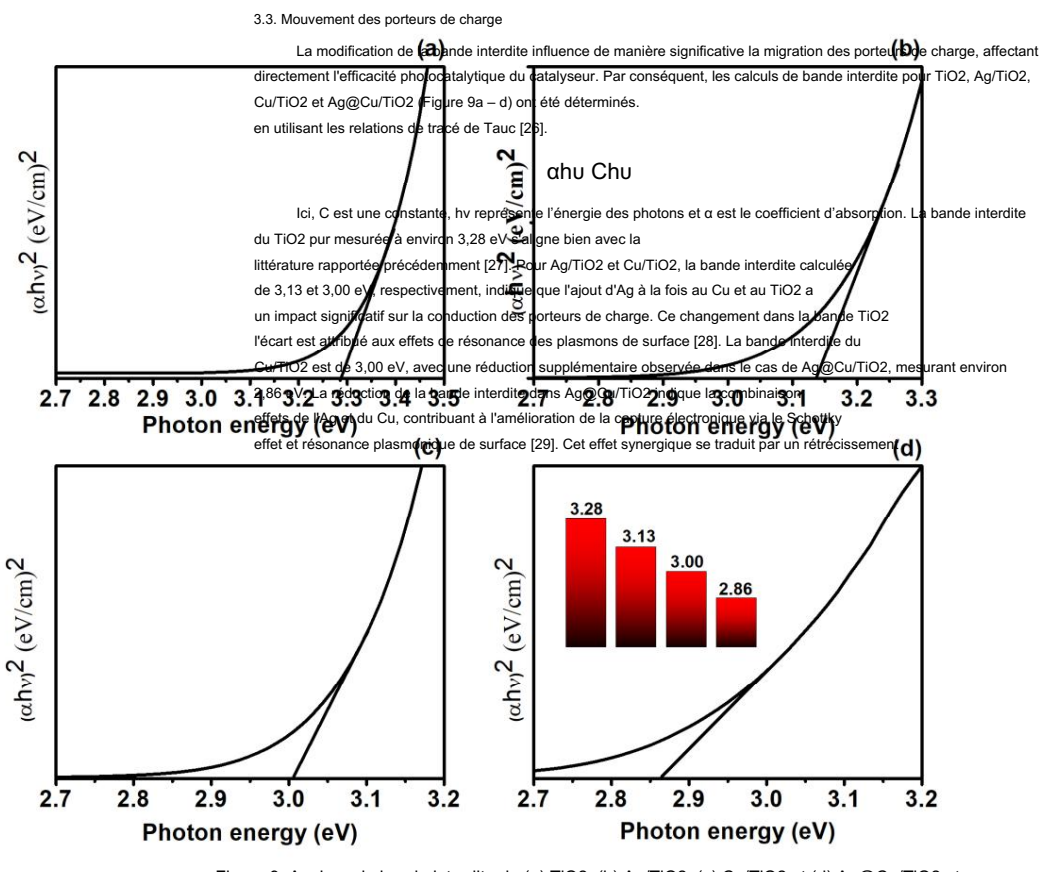


Figure 9. Analyse de Figure 1 Analyse de Figur

3.4. Rapport de recombinaison de charge

Le taux de recombinaison des charges est inversement proportionnel aux performances photocatalytiques. Les rapports de recombinaison de charges du TiO2, Ag/TiO2, Cu/TiO2 et Ag@Cu/TiO2 ont été déterminés grâce aux spectres de photoluminescence, comme illustré sur la figure 10. L'analyse de spectres de photoluminescence a révélé que le TiO2 présentait un pic de haute intensité par rapport aux Ag/TiO2, Cu/TiO2 et Ag@Cu/TiO2, indiquant un taux de recombinaison élevé pour le TiO2, conduisant par conséquent à une efficacité photocatalytique plus faible.

3.3. Mouvement des porteurs de charge

La modification de la bande interdite influence de manière significative la migration des porteurs de charge, affectant directement l'efficacité photocatalytique du catalyseur. Par conséquent, les calculs de bande interdite pour TiO2, Ag/TiO2, Cu/TiO2 et Ag@Cu/TiO2 (Figure 9a – d) ont été déterminés à l'aide des relations de tracé de Tauc [26].

 $\alpha(hu) = C hu - Par exemple$

Ici, C est une constante, hv représente l'énergie des photons et α est le coefficient d'absorption. La bande interdite du TiO2 pur mesurée à environ 3,28 eV correspond bien à la littérature précédemment rapportée [27]. Pour Ag/TiO2 et Cu/TiO2, la bande interdite calculée de 3,13 et 3,00 eV, respectivement, indique que l'ajout d'Ag à la fois à Cu et à TiO2 a un impact significatif sur la conduction des porteurs de charge. Ce changement dans la bande interdite du TiO2 est attribué aux effets de résonance des plasmons de surface [28]. La bande interdite du Cu/TiO2 est de 3,00 eV, avec une réduction supplémentaire observée dans le cas de l'Ag@Cu/TiO2, mesurant environ 2,86 eV. La réduction de la bande interdite dans Ag@Cu/TiO2 indique les effets combinés de Ag et Cu, contribuant à l'amélioration de la capture électronique grâce à l'effet Schottky et à la résonance plasmonique de surface (29). Cet effet synergique se traduit par une bande interdite réduite, des mouvements accélérés des électrons et des trous dans Ag@Cu/TiO2, entraînant ainsi une dégradation photocatalytique accrue du RB.

3.4. Rapport de recombinaison de charge

Le taux de recombinaison des charges est inversement proportionnel à la performance photocatalytique. Les rapports de recombinaison de charges du TiO2, Ag/TiO2, Cu/TiO2 et Ag@Cu/TiO2 ont été déterminés à travers les spectres de photoluminescence, comme le montre la figure 10. L'analyse des spectres de photoluminescence a révélé que le TiO2 présentait un pic de haute intensité. en comparaison avec Ag/TiO2, Cu/TiO2 et Ag@Cu/TiO2, ce qui indique un taux de recombinaison élevé pour le TiO2, conduisant par conséquent à une efficacité photocatalytique plus faible. À l'inverse, Ag@Cu/TiO2 avait une faible intensité, suggérant une efficacité de dégradation plus élevées

Chimie 2024, 6, POUR EXAMEN PAR LES

EXEMPAIRS, les résultats de photoluminescence s'alignent sur nos résultats photocatalytiques, qui indiquent que l'efficacité de dégradation est la suivante : Ag@Cu/TiO2 > Cu/TiO2 > Ag/TiO2 > TiO2.

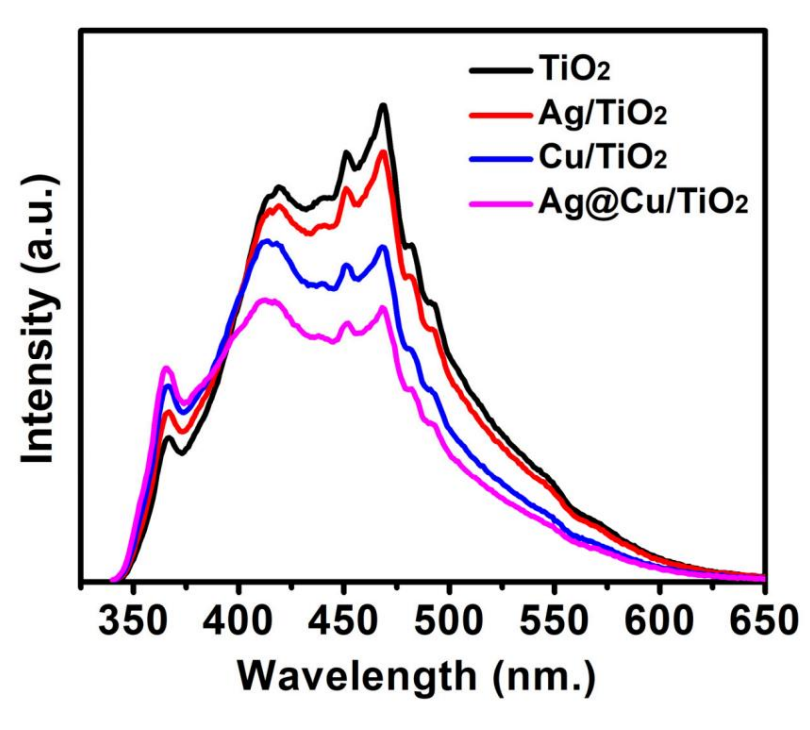


Figure 10. Rapport de recombinaison de charge du T1702 Au/J1702C (CTI/PROZ Au/Q/OCTI/PROZ).

3.5. Dégradation photocatalytique du

RB Le spectre UV-Vis dépendant du temps du RB sous irradiation UV-Vis est représenté sur la figure 9a, où le pic d'absorption caractéristique se situe à λmax de 545 nm, qui est la principale caractéristique du RB. En observant la figure 9a, il devient évident qu'avec l'augmentation du temps d'irradiation de 0 à 60 m, le pic d'absorption diminue progressivement, indiquant la déradiation de RB b par TiO2, A/TiO2, Cu/TiO2 et A@Cu/TiO2. sous la lumière visible.

3.5. Dégradation photocatalytique

du RB Le spectre UV-Vis dépendant du temps du RB sous irradiation UV-Vis est représenté sur la figure 9a, où le pic d'absorption caractéristique se situe à λmax de 545 nm, qui est la principale caractéristique du RB. En observant la figure 9a, il devient évident qu'avec l'augmentation du temps d'irradiation de 0 à 60 m, le pic d'absorption diminue progressivement, indiquant la dégradation du RB par le TiO2, Ag/TiO2, Cu/TiO2 et Ag@Cu/TiO2. sous la lumière visible.

Les figures 9b et c illustrent les statistiques de dégradation, démontrant que l'efficacité de dégradation du TiO2 pur est d'environ 24,41 % dans un rayon de 60 m d'irradiation. Cette efficacité relativement faible est due à sa large bande interdite et à son taux de recombinaison de charges élevé. Avec l'intégration de Ag, l'efficacité de dégradation du TiO2 pur a augmenté jusqu'à environ 34,73 % sur la même durée. Cette amélioration est due à la résonance de photoluminescence de surface induite par l'argent, qui supprime la recombinaison des porteurs de charge, intensifiant par conséquent la dégradation du RB par l'Ag/TiO2 [25].

L'efficacité de dégradation du Cu/TiO2 était d'environ 68,38 %, soit 2,82 fois celle du TiO2 pur. Cette amélioration est due au taux de recombinaison réduit des charges et à l'introduction de sites actifs tels que des lacunes d'oxygène dans le TiO2 pur, ce qui entraîne une capture plus efficace des molécules RB et améliore ainsi l' efficacité de dégradation du Cu/TiO2 . 26]. De même, l'effet combiné de l'argent et du cuivre est évident dans l'efficacité photocatalytique du ternaire Ag@Cu/TiO2, qui a présenté un taux de dégradation d'environ 81,07 %, soit 3,31 fois celui du TiO2. L'amélioration notable est due à la réduction effective de la recombinaison des paires électron-trou et à l'introduction de sites plus actifs pour la capture des molécules RB. De plus, l' incorporation d'argent et de cuivre dans le TiO2 a entraîné une absorption accrue de la lumière, contribuant ainsi à l'amélioration globale. De plus, à mesure que l'efficacité de dégradation augmente, la constante de vitesse de réaction du TiO2, Ag/TiO2, Cu/TiO2 et Ag@CuLa constante de vitesse de réaction four Ag/TiO2 et Cu/TiO2 et aconstante de vitesse de réaction pour Ag/TiO2 et Cu/TiO2 était d'environ 7,11 × 10-3 et 1,91 × 10-2 , respectivement.

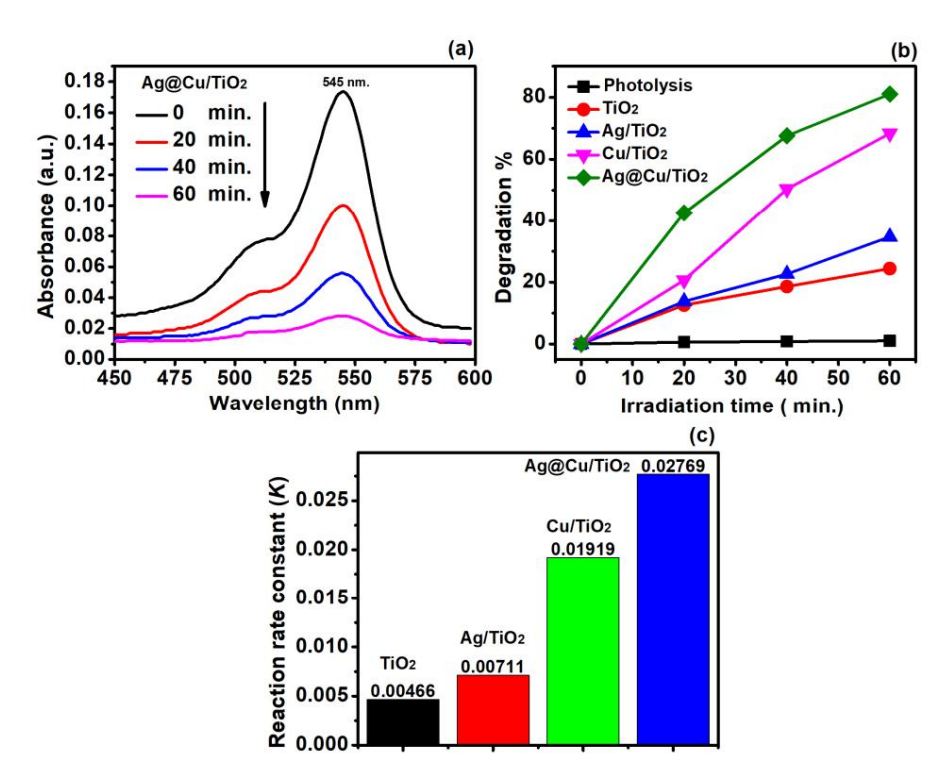


Figure 11. (a) Spectre UV-Vis dépendant du temps du RB pour Ag@Cu/TiO2, et (b) statistiques de Figure 11. (a) Spectre UV-Vis dépendant du temps du RB pour Ag@Cu/TiO2, et (b) dégradation dégradation et (c) constante de la serie de la s

3.5.1. Effet de la concentration de RB

La concentration du colorant est un facteur crucial car elle peut augmenter ou diminuer l'efficacité photocatalytique du catalyseur. Pour examiner cela, une série de réactions ont été réalisées à différentes concentrations de RB, à savoir 5, 20, 30, 40 et 50 ppm, tout en gardant le dosage de l'Ag@Cu/TiO2 fixé à 200 mg/250 mL et l'intensité lumineuse d'une lampe halogène de 500 W. Comme le montre la figure 12a, la dégradation du RB s'est avérée être à son apogée, autour de 81,07 %, à une concentration de RB de 30 ppm. Les résultats ont révélé une augmentation progressive

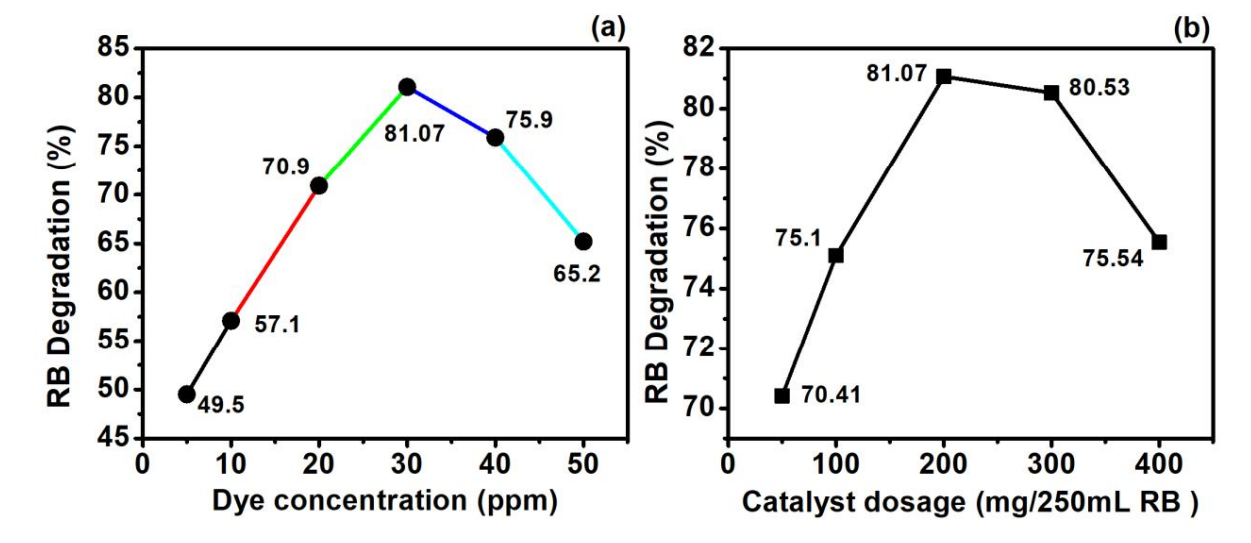
3.5.1. Effet de la concentration de RB

La concentration du colorant est un facteur crucial car elle peut augmenter ou diminuer l' efficacité photocatalytique du catalyseur. Pour examiner cela, une série de réactions ont été réalisées à différentes concentrations de RB, à savoir 5, 20, 30, 40 et 50 ppm, tout en gardant le dosage de Ag@Cu/TiO2 fixé à 200 mg/250 mL et la lumière intensité à une lampe halogène de 500 W. Comme le montre la figure 12a, la dégradation du RB s'est avérée être à son apogée, autour de 81,07 %, à une concentration de RB de 30 ppm. Les résultats ont révélé une augmentation progressive du taux de dégradation de 5 ppm à 30 ppm, avec des valeurs de dégradation d'environ 49,5 %, 57,1 %, 70,9 % et 81,07 % pour 5 ppm, 10 ppm, 20 ppm et 30 ppm, respe Notamment, la dégradation du RB a commencé à diminuer au-delà de 30 ppm, avec des valeurs de dégradation de 75,9 % et 65,2 % pour 40 ppm et 50 ppm, respectivement. Les performances photocatalytiques très efficaces de Ag@Cu/TiO2 sont dues à la disponibilité croissante de molécules de colorant RB pour l'excitation et le transfert d'énergie avec une concentration croissante de RB [30].

Chimie 2024, 6, POUR EXAMEN PAR LES PAIGE pendant, dès le dépassement d'un niveau de concentration critique, dans notre cas 30 ppm, les

molécules de colorant commencent à absorber le rayonnement au lieu d'être absorbées par l'Ag@Cu/

TiO2, ce qui entraîne une diminution de l'efficacité photocatalytique de l'Ag@Cu/ TiO2 [31].



ctique tigue ig le fet) de flet cum re outration te de interes 20 mp 20 30 mp 30 40 mp 400 500, parts capolin whith grasses and the flesh and a second flet of the flesh and the flesh a

33:55:22. Effect tolucides sagge Algonic Luttion 22

Latégégaladietiophotoataltyliquieutégépendede la japatitétite dantaltylique alla la la latione de la japatitétite dantaltylique alla la la latione de la japatitétite dantaltylique alla la latione de la japatitétite dantaltylique alla la latione de la japatitétique de la latione de la latione de la latione de la latione de la japatitétique de la japatitétique de la japatitétique de la latione de la japatitétique de la japat

Las resultata fritaire viabi) autiméráte i que l'estimaté age l'Ag@ précisament elac de gradation d'emissine le atégrada prima la gradation que mission de mission que me a se proposition que que me

audineacteit dai 200 incu 250 mlg/250 mlg/250

Cette baisse d'efficacité peut être attribuée à la désorption et à la diffusion de la lumière audelà d'un certain seuil de dosage d'Ag@Cu/TiO2 [29].

La réutilisation cyclique de Ag@Cu/TiO2 a été évaluée sur sept cycles consécutifs (voir Figure S2). Remarquablement, la réutilisabilité est restée stable à 79,96 % même après le septième cycle. Ces résultats soulignent le potentiel prometteur de Ag@Cu/TiO2 pour le colorant RB

Cette baisse d'efficacité peut être attribuée à la désorption et à la diffusion de la lumière audelà d' un certain seuil de dosage d'Ag@Cu/TiO2 [29].

La réutilisation cyclique de Ag@Cu/TiO2 a été évaluée sur sept cycles consécutifs (voir Figure S2). Remarquablement, la réutilisabilité est restée stable à 79,96 % même après le septième cycle. Ces résultats soulignent le potentiel prometteur de Ag@Cu/TiO2 pour la dégradation du colorant RB sous la lumière visible.

3.5.3. Mécanisme photocatalytique proposé

La figure 13 représente la voie de dégradation suggérée Ag@Cu/TiO2 du RB. Il existe trois manières possibles de former des hétérojonctions binaires et ternaires avec TiO2.

Le niveau d'énergie de l'orbitale moléculaire occupée la plus élevée de Cu est situé entre la bande de valence (VB) et

la bande de conduction (CB) de TiO2, ce qui facilite la formation d' hétérojonction binaire. Sous irradiation par la Chimie 2024, 6, POUR EXAMEN PAR LES PALIS PAL

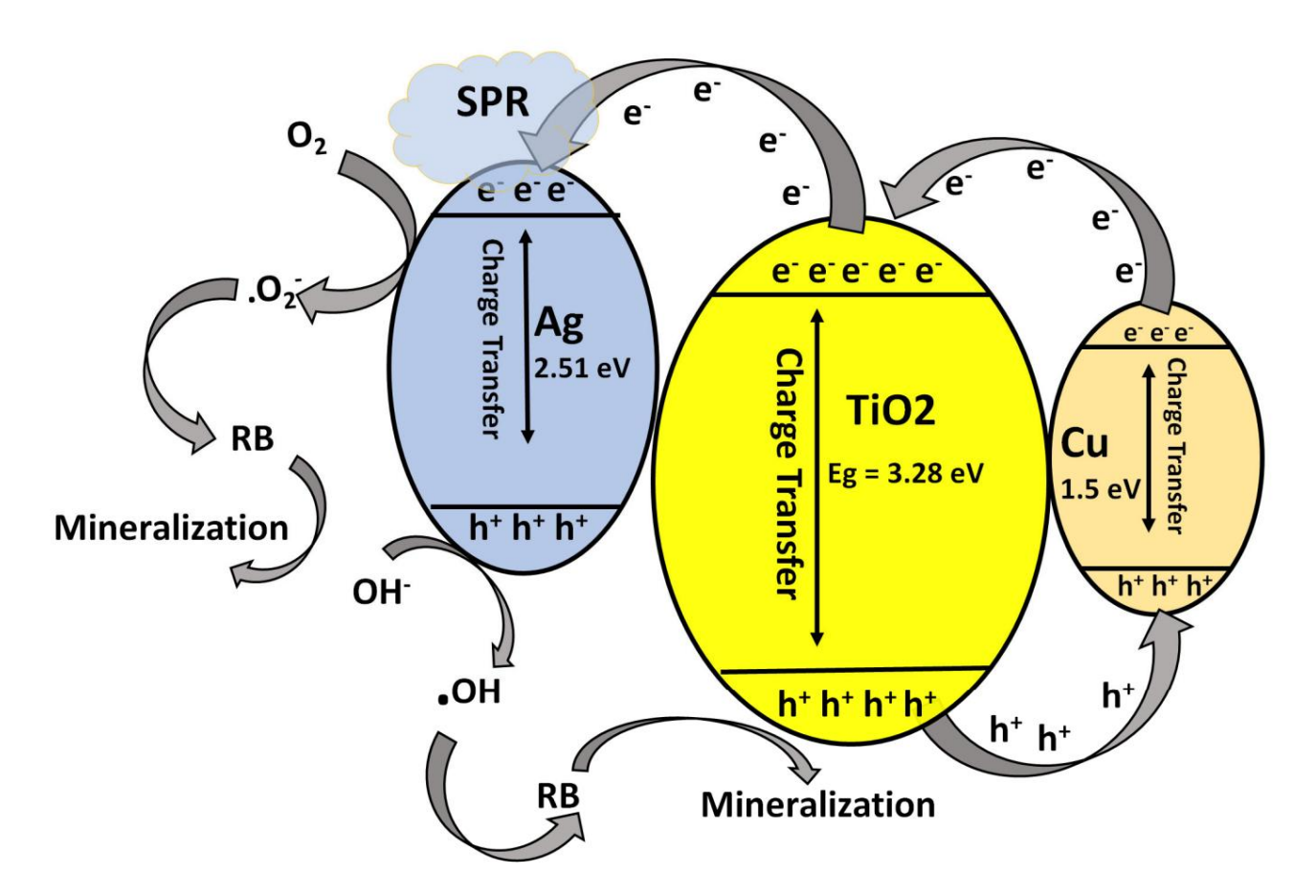


Figure 13. Mécanisme de dégradation proposé du RB par Ag@Cu/TiO2 .

Figure 13. Mécanisme de dégradation proposé du RB par Ag@Cu/TiO2.

3.6. Production d'hydrogène

En utilisant une concentration de 20 % de méthanol comme piégeur, nous avons évalué la génération photocatalytique d'hydrogène du TiO2, Ag/TiO2, Cu/TiO2 et Ag@Cu/TiO2. Les résultats, comme

3.6. Production d'hydrogène

Chemistry 2024, 6, FOR PEER

augmentait de manière significative jusqu'à 10,1 µmol h-1 g lors de l'incorporation d'Ag. Cette amélioration REVIEW peut être dû au rôle de l'Ag dans l'amélioration de la séparation des porteurs de charge [34]. De plus, il a été observé que le Cu/TiO2 avait une capacité de production d'hydrogène supérieure à celle de l'Ag/TiO2, avec une valeur approximative de 14,4 µmol h. -1 g Ag@Cu/1 . La production TiO2 s'est avéré être d'environ 17,1 µmol h-1 g-1, ce qui suggère que la synetgie Ag et Cu de Ag@Cu/TiO2 s'est avérée être d'environ 17,1 µmol h-1 g contribuant d'un. d'hydrogène , suggerant que Ag et point de vue logistique à améliorer la production d'hydrogène du TiO2 pur [35]. Contribuer de manière addi - synergique à l'amélioration de la production d'hydrogène du TiO2 pur [35]. L'analyse XPS des O1 indique une augmentation notable des lacunes en oxygène pour Ag@Cu/TiO2 et Ag/TiO2. Cette observation pour l'Ag@Cu/TiO2 par rapport au TiO2 pur, Cu/TiO2 et Ag/TiO2. Cette observation constitue un autre facteur contribuant à l'amélioration de la production d'hydrogène.

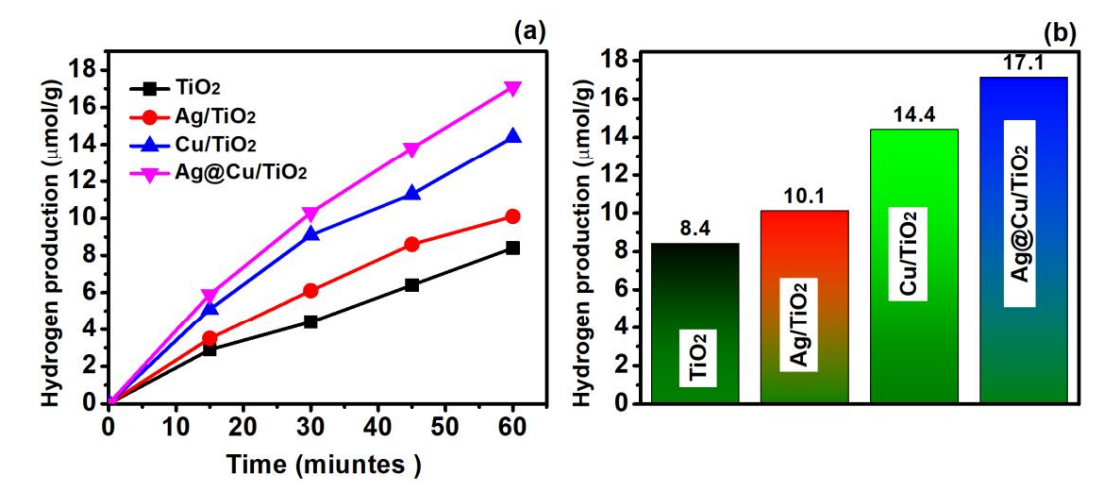


Figure of the state of the second state of the second seco

4. Conclusions

Fes cére y mé dana composition de montre de consideration de consideration de la consi

Documents supplémentaires: Les informations complémentaires suivantes peuvent être téléchargées sur intros : Documents supplémentaires : Les informations complémentaires suivantes peuvent être téléchargées sur intros : Documents supplémentaires : Les informations complémentaires suivantes peuvent être téléchargées sur intros : Documents : Documents : Les informations complémentaires suivantes peuvent être téléchargées sur : Les informations : Complémentaires suivantes peuvent être téléchargées sur : Les informations : Complémentaires suivantes peuvent être téléchargées sur : Les informations : Complémentaires : Les informations : Complémentaires : Les informations : Les

Contributions des auteurs : Conceptualisation, SY, AJ, PK, SAA et MOA ; Conservation des données, SS et SY ; Analyse formelle, SY, SS et SAA ; Acquisition de financement, SY et PK ; Enquête SY, AJ, PK, SAA, MOA et MA ; Méthodologie, SY, PK, AJ et MOA ; Administration de projet, SY, AJ, PK et MOA ; Ressources, SY, AJ, PK et MOA ; Logiciels, SS et MA ; Supervision, AJ, PK et MOA ; Validation, SY et MA ; Visualisation, SY, PK, SAA et MOA ; Rédaction : brouillon original, SY et MA ; Rédaction : révision et édition, SY, AJ, PK et MOA Tous

Contributions des auteurs : Conceptualisation, SY, AJ, PK, SAA et MOA ; Curation des données, SS et SY; Analyse formelle, SY, SS et SAA; Acquisition de financement, SY et PK; Enquête SY, AJ, PK, SAA, MOA et MA; Méthodologie, SY, PK, AJ et MOA; Administration de projet, SY, AJ, PK et MOA; Ressources, SY, AJ, PK et MOA; Logiciels, SS et MA; Supervision, AJ, PK et MOA; Validation, SY et MA; Visualisation, SY, PK, SAA et MOA; Rédaction – version originale, SY et MA; Rédaction - révision et édition, SY, AJ, PK et MOA Tous les auteurs ont lu et accepté les Chimie 2024, 6, POUR EXAMEN PAR LES PUBLICE du manuscrit.

> Financement : les deux auteurs (Pramod Kumar et Satish Yadav) souhaitent remercier le Supérieur Département de l'éducation du gouvernement de l'Uttar Pradesh (Inde) pour son aide financière et bourse grace à deseible atione des retheretherethes de dévéloppement (Lettire n°883/20022545/85/ -4-2022/001

Chimie 2024, 6, POUR EXAMEN PARTATION PONTE Examilibri interdes promibilité des sidonéées ses données à dispositions sà dispositions sà dispositions sà dispositions sà disposition sa disposition de la companie de la

Remerciem Rentserdiem anteux Les treus d'Reans supérieur du gouvernement de l'Uttar Pradesh (Inde) pour l'eatraidé/finaboiènse lieathé/partepaete trialsedes@puese ance et bourse grace à 13/20/28/2/15/35/e biais/42/02/2/0bvention Recherche et Développement (Lettre n° 4-32-2022 du 11/10/2022). 89/2022/995/4-32-202020/001/408202022, du 11/10/2022).

Conflits d'intérdigaidataitelle de déidide la conflit d'intérdiction de la conflit de la c

Les références Les références

Remerciements : Les deux auteurs (Pramod Kumar et Satish Yadav) souhaitent remercier le Département de l'enseignement supérieur du gouvernement de l'Uttar Pradesh (Inde) pour leur financement. 1. Feng, A.; Feng, J.; Xing, W.; Jiang, K.; Tang,

- W. Applications polyvalentes des systèmes à circulation électrochimique dans le traitement de l'eau.

 Tang, W. Applications polyvalentes des systèmes à fancelectrochimique dans le traitement de l'eau.

 Lettre 1. Feng, A.; Feng, J.; Xing, W.; Jiang, K.; Processus. Chimique. Ing. J. 2023, 473, 145400. [CrossRef] Processus de traitement. Chimique. Ing.89/2022/14583/145400202/001-4-32-2022, du 11/10/2022).
- 2. Huang, L.; Huang, X.; Yan, J.; Liu, Y.; Jiang, H.; Zhang, H.; Tang, J.; Liu, Q. Progrès de la recherche sur l'application de la pérovskite en adsorption et élimination photocatalytique des pollicants de l'eau. J. Hazard. Maître. 2023, 442; 130024.
- 3. Noor, R.; Magsood, A.; Baig, A.; Pandé, CB; Zahra, SM; Saad, A.; Anwar, M.; Singh, Saskatchewan Une étude complète sur l'eau 3. Noor, R.; Magsood, A.; Baig, A.; Pandé, CB; Zahra, SM; Saad, A.; Anwar, M.; Singh, SK Une revue complète sur l'eau (1984).

2022/001-4-3**2220042201221 (U/10/12/0122)**022).

- et Filtration membranaire dans le fraitement de l'eau et des eaux usées : un examen complet, J. Hazznd, Maître, 2023, 442, 30072.

 (Réference crisse) probled)

 9. Bagetelsh, Jan Heinstehaf J. Behriwaii, Pl. Miayer de carbane problègique assisté par ovar de grande et de l'eau de l'e
- Interface celle idale Sci. 3023 632023 4316, 156487 2023, 631, 33-43. Reference crossed i Publicel
- Internace Sci. 2023, 931, 33-43. [Référence croisée] [PubMed]

 16 Christofondis, KO furpasieus & Production photocatalytique d'hydrogène it une faille dans l'approvisionnement énergétique futur. ChemCatChe 14. Arabkhani, P.; Saeedi, Christofondis, KC, Fornasieus & Production photocatalytique on varogène : une faille dans l'approvisionnement énergétique futur. ChemCatChem

 2017, 9, 1523-1544. [Référence croisée]

 17. Donc S. Ferral de Conseil : En Conseil :
- 2017, 9, 1523-1544. [Reference croisee]
 17. Dong, Suir fennsishin fannsky right of the control of the control
 - - dé**gnasifiace do llos de Rens**eile 2**0 213/283 1/5 83 Ma**ître. Électron. 2020, 31, 14795-14809. https://doi.org/10.1007/s10854 16. Christoforidis, KC; Fornasiero, P. Production photocatalytique d'hydrogène : une faille dans l'approvisionnement énergétique futur. ChemCatCh 19. Tayeb, AM; Hussein, DS Synthèse de nanoparticules de TiO2 et leur activité photocatalytique pour le bleu de méthylène. Suis. 2017, 9, 1523-1544. https://doi.org/10.1002/cctc.201601659.
 - 17. $D = \frac{1}{2} \frac{1}$
 - 20. Li, Z. ; Manda Yaly Zhangs പ്രതിഷ്ടി മൂന്നു സ്വേഷം ക്രിക്കുന്നു. Photochem. Photobiol. C Traitement de l'eau Photochem à l'aide de

18. Palanisamy, VK; Manoharan, K.; Raman, K.; Sundaram, R. Comportement photocatalytique efficace des nanorodes de sulfure de zinc piloté par la lumière du soleil vers la dégradation du rose Bengale. J. Mater. Sci. Maître. Électron. 2020, 31, 14795-14809. [Référence croisée]

- 19. Tayeb, AM; Hussein, DS Synthèse de nanoparticules de TiO2 et leur activité photocatalytique pour le bleu de méthylène. Suis. J. Nanomatère. 2015. 3. 57-63.
- 20. Li, Z.; Meng, X.; Zhang, Z. Développement récent sur la photocatalyse basée sur MoS2 : une revue. J. Photochem. Photobiol. C Photochimie.
- 21. Li, Z.; Wang, S.; Wu, J.; Zhou, W. Progrès récents dans les photocatalyseurs TiO2 défectueux pour les applications énergétiques et environnementales.

 Renouveler. Soutenir. Energy Rev.2022, 156, 111980. [CrossRef]
- 22. Chun-Te Lin, J.; Sopajaree, K.; Jitjanesuwan, T.; Lu, M.-C. Application de la lumière visible sur le dioxyde de titane dopé au cuivre catalysant la dégradation des chlorophénols. Sept. Purif. Technologie. 2018, 191, 233-243.
- 23. Zhang, H.; Wang, G.; Chen, D.; Niv, X.; Li, J. Ajustement des performances photoélectrochimiques des nanocomposites Ag-TiO2 via Réduction/oxydation de l'Ag. Chimique. Maître. 2008, 20, 6543-6549. [Référence croisée]
- 24. Soleil, M.; Wang, Y.; Croc, Y.; Soleil, S.; Yu, Z. Construction de composites ternaires MoS2/CdS/TiO2 avec photocatalytique amélioré
 Activité et stabilité. J. Alliages Compd. 2016, 684, 335-341. [Référence croisée]
- 25. Dustgeer, M.; Asma, ST; Jilani, A.; Raza, K.; Hussein, SZ; Shakoor, Manitoba; Iqbal, J.; Abdel-wahab, MS; Darwesh, R. Synthèse et caractérisation d'un nouveau film mince de Cu2O pulvérisé monophasé: activité structurelle, antibactérienne et dégradation photocatalytique du bleu de méthylène. Inorg. Chimique. Commun. 2021, 128, 108606. [Réf. croisée]
- 26. Jilani, A.; Iqbal, J.; Rafique, S.; Abdel-wahab, MS; Jamil, Y.; Al-Ghamdi, AA Enquêtes sur le changement d'état chimique des photoélectrons morphologiques, optiques et à rayons X des couches minces de ZnO. Optik 2016, 127, 6358–6365. [Référence croisée]
- 27. Kumari, A.; Zaman, M.; Kumar, A.; Singh, VR; Ghosh, A.; Sahoo, Saskatchewan; Rahaman, A.; Mandal, Saskatchewan; Bhunia, S. Une approche alternative pour étudier le comportement photocatalytique du TiO2 à l'aide de techniques spectroscopiques avancées basées sur le synchrotron. J. Mater. Ing. Effectuez 2023, 32, 10391-10401. [Référence croisée]
- 28. Shi, Y.; P'tit.; Xu, Z.; Guo, F.; Li, Y.; Shi, W. Le couplage synergique des effets piézoélectriques et plasmoniques régule la barrière Schottky dans les nanoparticules d'Ag/hétérostructure de nanofeuilles ultra-minces g-C3N4 pour améliorer l'activité photocatalytique. Appl. Le surf. Sci. 2023, 616, 156466. [Réf. croisée]
- 29. Di, S.; Guo, S.; Wang, Y.; Wang, W.; Jung, YM; Chen, L.; Wang, L. Effet de résonance plasmonique de surface sur le transfert de charge dans Ag @ Composites Cu2O-rGO. Maître. Chimique. Phys. 2023, 301, 127621. [Référence croisée]
- 30. Hanafi, MF; Sapawe, N. Effet de la concentration initiale sur la dégradation photocatalytique du colorant bleu brillant Remazol en utilisant Catalyseur au nickel. Maître. Aujourd'hui Proc. 2020, 31, 318-320. [Référence croisée]
- 31. Reza, KM; Kurny, A.; Gulshan, F. Paramètres affectant la dégradation photocatalytique des colorants utilisant du TiO2 : une revue. Appl. Sciences de l'eau. 2017, 7, 1569-1578. [Référence croisée]
- 32. Mansfeldova, V.; Zlamalova, M.; Tarabkova, H.; Janda, P.; Vorokhta, M.; Piliaï, L.; Kavan, L. Fonction de travail des monocristaux de TiO2 (Anatase, Rutile et Brookite): effets de l'environnement. J. Phys. Chimique. C 2021, 125, 1902-1912. [Référence croisée]
- 33. Huang, K.; Li, C.; Zheng, Y.; Wang, L.; Wang, W.; Meng, X. Avancées récentes sur la photocatalyse à base d'argent : inhibition de la photocorrosion, amélioration de la réactivité à la lumière visible et accélération de la séparation des charges. Sept. Purif. Technologie. 2022, 283, 120194.
- 34. Yadav, AA; Faim, YM; Kang, S.-W. Nanostructure d'oxyde de cuivre en forme de boule spongieuse modifiée par de l'oxyde de graphène réduit pour une production améliorée d'hydrogène photocatalytique. Maître. Rés. Taureau. 2021, 133, 111026. [Réf. croisée]
- 35. Wu, D.; Liu, H.; Chen, J.; Liu, W.; Hisstand, G.; Wang, T. Hydrogels de graphène réduits microporeux 3D réticulés intégrés à des NP de Cu comme photocatalyseur pour l'évolution de l'hydrogène. J. Interface Colloïde Sci. 2020, 577, 441-449. [Référence croisée]

Avis de non-responsabilité/Note de l'éditeur : Les déclarations, opinions et données contenues dans toutes les publications sont uniquement celles du ou des auteurs et contributeurs individuels et non de MDPI et/ou du ou des éditeurs. MDPI et/ou le(s) éditeur(s) déclinent toute responsabilité pour tout préjudice corporel ou matériel résultant des idées, méthodes, instructions ou produits mentionnés dans le contenu.